Oddziaływania słabe

Elementy fizyki cząstek elementarnych
Wykład V

- neutrina
- teoria Fermiego
- mieszanie kwarków
- łamanie CP
- bozony $W^{\pm}$ i Z°

Neutrina

Promieniotwórczość

Odkrycie promieniotwórczości uranu: Henri Becquerel, 1896.

1903 - nagroda Nobla, wraz z M.Skłodowską i P.Curie

E.Rutherford i F.Soddy:
Źródłem promieniowania są przemiany jednych pierwiastków w inne.

Separacja w polu magnetycznym:

- promieniowanie α - jądra helu
$$^{238}_{92}U \rightarrow ^{234}_{90}Th + \alpha$$
- promieniowanie β - elektrony (lub pozytony)
$$^{60}_{28}Co \rightarrow ^{60}_{29}Ni^{\star} + e^{-} \text{ ...}$$
- promieniowanie γ - wysokoenergetyczne fotony
$$Ni^{\star} \rightarrow Ni + \gamma$$

Oczekiwano, że cząstki promieniowania powinny nieść energię $E_{\circ}$ odpowiadającą różnicy mas izitopów...

Neutrina

Rozpady α i γ

Dyskretne widmo energii:

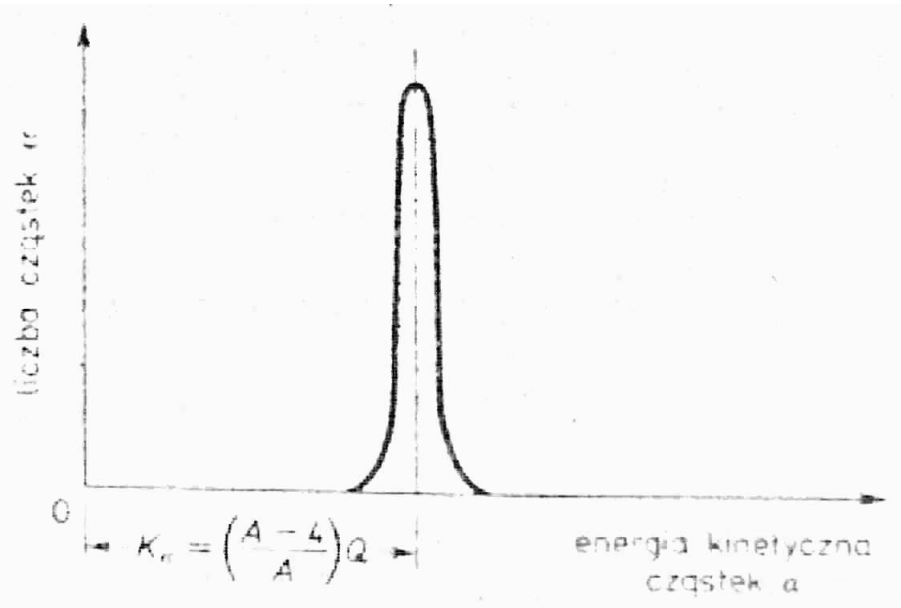

Rozpad β

Ciągłe widmo energii:

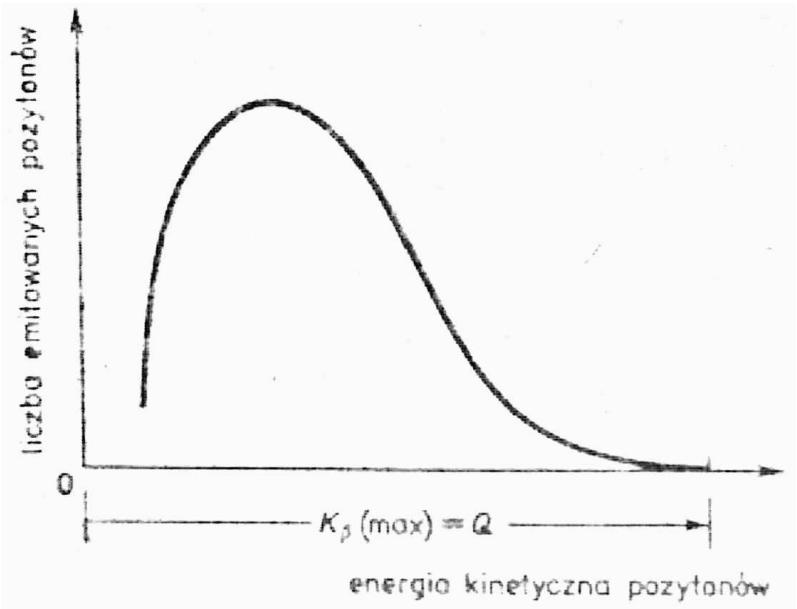

Naruszenie zasady zachowania energii !?...

Neutrina

Hipoteza Pauliego

Aby "uratować" zasadę zachowania energii (i momentu pędu) Pauli zaproponował istnienie neutrina: dodatkowej cząstki unoszącej część energii w rozpadzie β:

$$^{60}_{28}Co \;\rightarrow\; ^{60}_{29}Ni^{\star} \;+\; e^{-} \;+\; \bar{\nu}_e$$

Oczekiwane widmo energii elektronów z rozpadu β:

$$\frac{dN(p)}{dp} \;\sim\; p^2\,(E_\circ - E)^2\,\sqrt{1 - \frac{m_\nu^2}{(E_\circ - E)^2}}$$

Wykres Kurie

Dla m_ν=0 oczekujemy liniowej zależności $\sqrt{\frac{N(p)}{p^2}} \sim E_\circ - E$

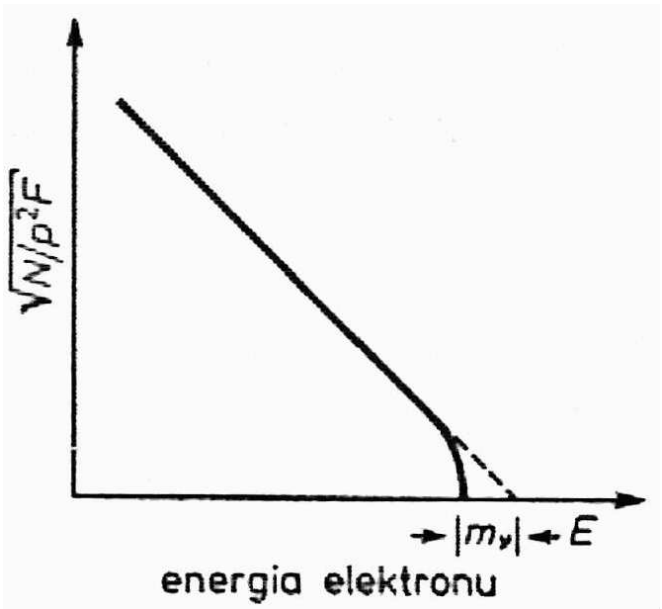

Ewentualne odstępstwa $\Rightarrow$ pomiar masy neutrina

Neutrina

Wykres Kurie

Wyniki pomiarów dla rozpadu trytu, $E_\circ = 18.6$ keV (1952):

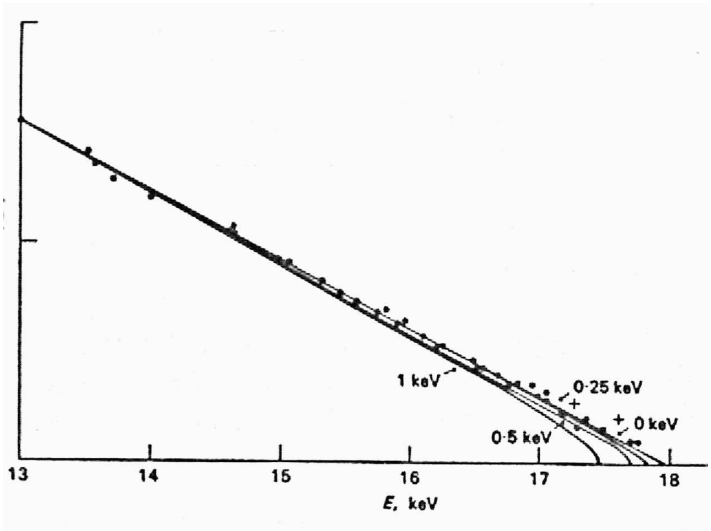

Najnowsze wyniki (Mainz, 2001):

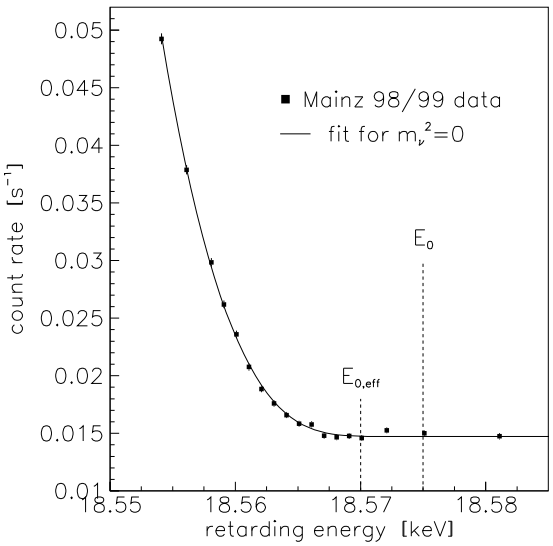

Obecne ograniczenie na masę neutrina elektronowego (z bezpośredniego pomiaru):

$$m_\nu \ < \ 2.2\ eV \ \ (95\%\ CL)$$

Teoria Fermiego

W 1934 roku Fermi zaproponował teorię rozpadu β

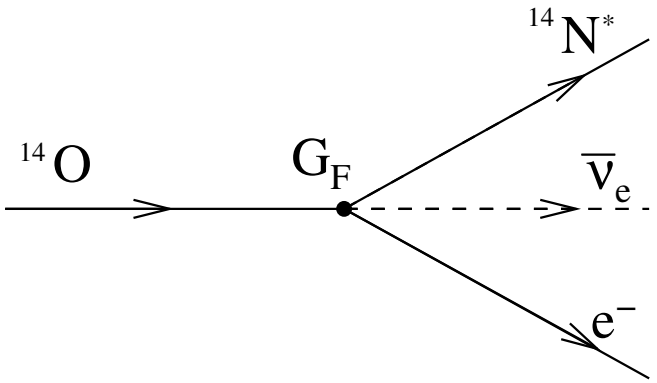

Na poziomie nukleonów:

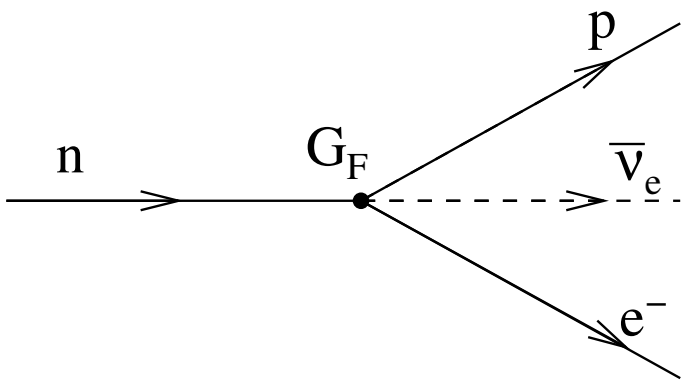

Uniwersalne sprzężenie punktowe

$\Rightarrow$ jeden wolny parametr: G_F

(obecnie nazwany "stałą Fermiego")

Czas życia izotopu zależy jedynie od energii rozpadu $E_\circ$

$$\frac{1}{\tau} = \frac{G_F^2 E_\circ^5}{30\pi^3}$$

$$G_F \approx 1.2\ 10^{-5}\ GeV^{-2}$$

Teoria Fermiego

Teoria Fermiego zakładała na początku, że oddziaływania słabe mają taką samą symetrię jak oddziaływania elektromagnetyczne.

Model w tym kształcie przetrwał ponad 20 lat.

Jednak w 1957 pani C.S.Wu zaobserwowała łamanie parzystości w rozpadzie $^{60}Co \rightarrow ^{60}Ni^{\star} + e^{-} + \bar{\nu}_e$

Doświadczenie Wu

W niskiej temperaturze większość jąder kobaltu ustawia się spinem wzdłuż kierunku pola magnetycznego.

Obserwujemy nadwyżkę elektronów emitowanych w kierunku przeciwnym do spinu jądra

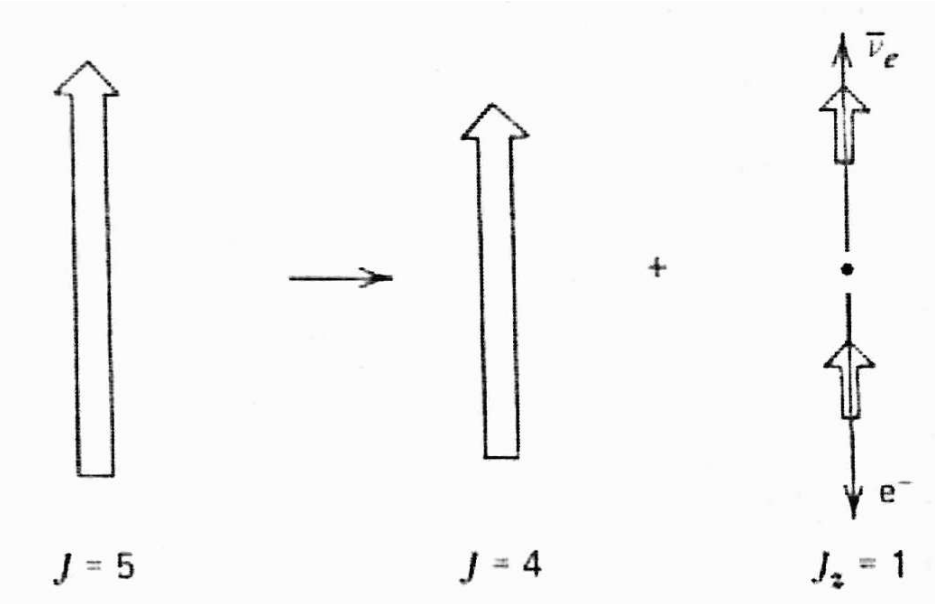

$\Rightarrow$ elektrony "lewoskrętne" (spin przeciwny do pędu)
a anty-neutrina "prawoskrętne" (spin zgodny z pędem)

Teoria Fermiego

Parzystość

Transformacja przystości (P):

$$(x, y, z) \;\rightarrow\; (-x, -y, -z)$$

Można uogólnić:

$$\begin{aligned} \vec{v} &\rightarrow -\vec{v} \quad (\text{wektor}) \\ \vec{a} &\rightarrow \vec{a} \quad\;\; (\text{pseudo} - \text{wektor}) \end{aligned}$$

Opis oddziaływań elektromagnetycznych nie zmienia się przy odwrócenie wszystkich współrzędnych przestrzennych.
$\Rightarrow$ Mówimy, że oddziaływania EM zachowują przystość.

Łamanie parzystości

Spin jest pseudo-wektorem (tak jak moment pędu)
$\Rightarrow$ skrętność cząstki zmienia się przy P ($L \leftrightarrow R$)

Doświadczenie Wu:

$$^{60}Co \;\rightarrow\; {}^{60}Ni^{\star} + e^{-}_{L} + \bar{\nu}_{e,R}$$

Po odwróceniu współrzędnych:

$$^{60}Co \;\rightarrow\; {}^{60}Ni^{\star} + e^{-}_{R} + \bar{\nu}_{e,L}$$

Nie obserwujemy ! $\Rightarrow$ oddz. słabe łamią parzystość

Teoria Fermiego

Sprzężenie ładunkowe

Transformacja zamiany cząstki na anty-cząstkę (C).

Rozpad π^-:

$$\pi^- \rightarrow \mu_L^- + \bar{\nu}_{\mu,R}$$

Po odwróceniu współrzędnych (P):

$$\pi^- \rightarrow \mu_R^- + \bar{\nu}_{\mu,L}$$

Nie obserwujemy ! $\Rightarrow$ łamanie parzystości P

Po zamianie cząstek na antycząstki (C):

$$\pi^+ \rightarrow \mu_L^+ + \nu_{\mu,R}$$

Nie obserwujemy ! $\Rightarrow$ łamanie parzystości C

Złożenie obu operacji:

$$\pi^+ \rightarrow \mu_R^+ + \nu_{\mu,L}$$

Obserwujemy ! $\Rightarrow$

Oddz. słabe zachowują CP

jeszcze do tego wrócimy

Mieszanie kwarków

Po uwzględnieniu łamania parzystości model Fermiego przetrwał kolejne 20 lat...

Problem dziwności

Czas życia kaonu $K^{\pm}$ zbyt długi w stosunku do pionu $\pi^{\pm}$ (po uwzględnieniu różnicy mas).

Jeden z kanałów rozpadu:

$$\begin{aligned} K^- &\rightarrow \pi^\circ + e^- + \bar{\nu}_e \\ \pi^- &\rightarrow \pi^\circ + e^- + \bar{\nu}_e \end{aligned}$$

Na poziomie kwarkowym:

$$\begin{aligned} s &\rightarrow u + e^- + \bar{\nu}_e \\ d &\rightarrow u + e^- + \bar{\nu}_e \end{aligned}$$

Hipoteza Cabibo

Oddziaływania słabe sprzęgają kwark u z d'
- kombinacją kwarków s i d:

$$d' = d\cos\theta_C + s\sin\theta_C$$

Kąt Cabibo: $\sin\theta_C \approx 0.22$

$$\begin{aligned} \text{Proces}: \quad u &\leftrightarrow s \sim \sin^2\theta_C \\ u &\leftrightarrow d \sim \cos^2\theta_C \end{aligned}$$

Oddziaływania słabe mieszają zapachy kwarków, "widzą" inne kwarki niż oddz. silne...

Mieszanie kwarków

FCNC

Teoria Cabibo (1963) poprawnie wyjaśniła wszystkie znane rozpady słabe.

Przewidywała także nowe procesy typu FCNC (Flavour Changing Neutral Currents), procesy neutralne ze zmianą zapachu:

$$K^{\circ} \;\rightarrow\; \mu^{+}\mu^{-}$$

Na poziomie kwarków:

$$d\,\bar{s} \;\rightarrow\; \mu^{+}\mu^{-}$$

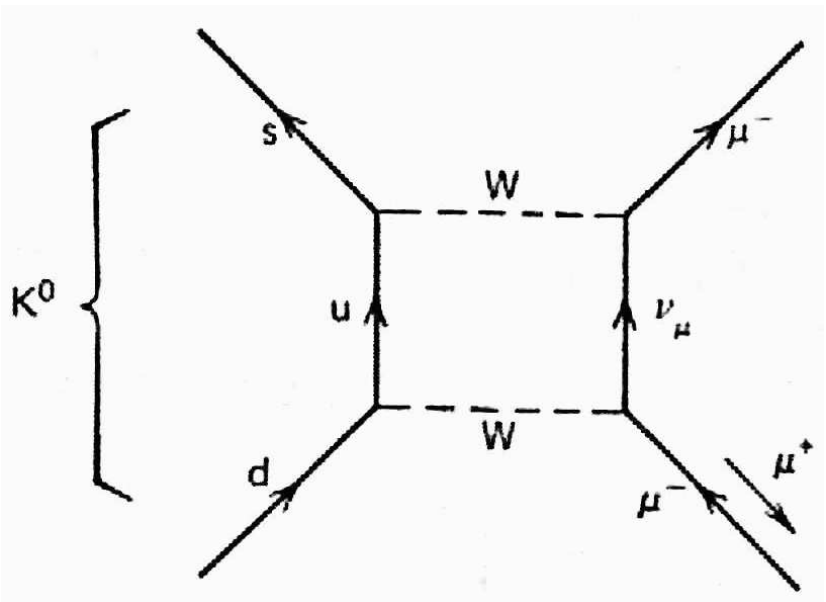

Jednak rozpadów takich nie obserwujemy !

Mieszanie kwarków

Czwarty kwark

W 1970 roku Glashow, Iliopoulos i Maiani (GIM) zaproponowali wprowadzenie dodatkowego, czwartego kwarku c.

W nowym modelu oddziaływania słabe sprzęgają

- kwark u z kwarkiem d'
- kwark c z kwarkiem s'

$$\begin{pmatrix} d' \\ s' \end{pmatrix} = \begin{pmatrix} \cos\theta_C & \sin\theta_C \\ -\sin\theta_C & \cos\theta_C \end{pmatrix} \begin{pmatrix} d \\ s \end{pmatrix}$$

Wkład z wymianą kwarku c kasuje wkład do FCNC od diagramu z wymianą kwarku u:

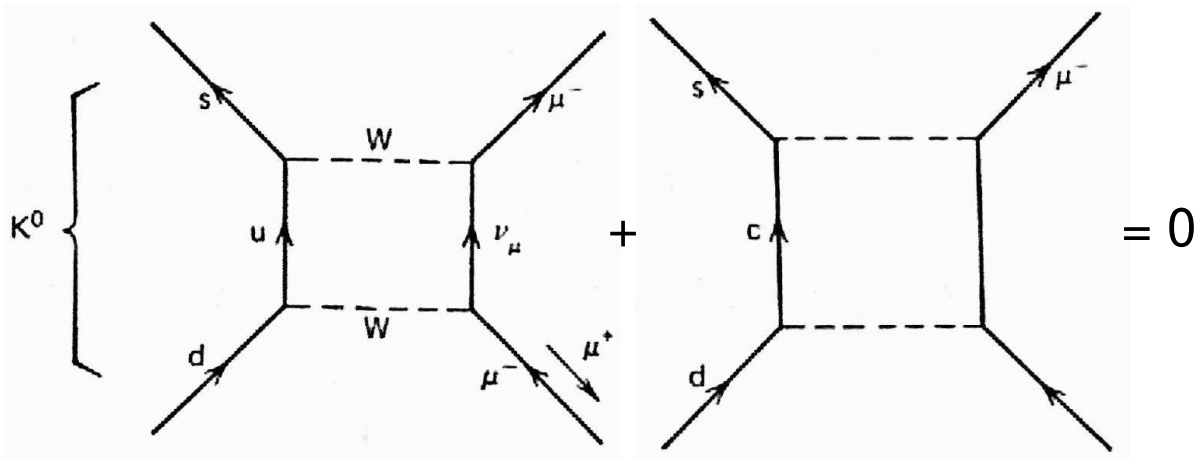

$$\sin\theta_C \cos\theta_C + (-\sin\theta_C \cos\theta_C) = 0$$

Kwark c odkryto “dopiero” w 1974 roku...

Mieszanie kwarków

Macierz CKM

Dla sześciu kwarków (trzech pokoleń)
mamy macierz mieszania 3×3.

CKM - Cabibbo, Kobayashi , Maskawa (1972)

$$\begin{pmatrix} d' \\ s' \\ b' \end{pmatrix} = \begin{pmatrix} V_{ud} & V_{us} & V_{ub} \\ V_{cd} & V_{cs} & V_{cb} \\ V_{td} & V_{ts} & V_{tb} \end{pmatrix} \begin{pmatrix} d \\ s \\ b \end{pmatrix}$$

Przykład: rozpady mezonu D° ($c\bar{u}$)

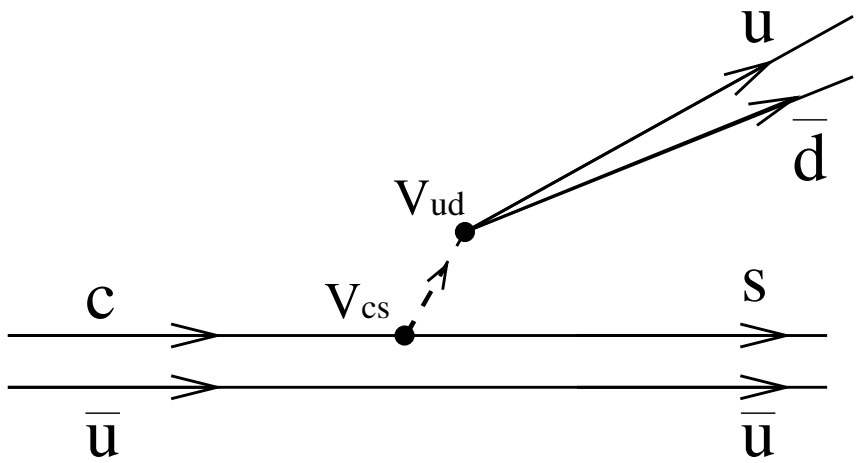

$$\begin{aligned} 3.8\% \quad & D^\circ \to K^-\pi^+ \sim |V_{cs}V_{ud}|^2 \sim \cos^4\theta_C \\ 0.015\% \quad & D^\circ \to \pi^-K^+ \sim |V_{cd}V_{us}|^2 \sim \sin^4\theta_C \end{aligned}$$

Obecne wyniki doświadczalne:

$$\begin{pmatrix} 0.9742 \text{ to } 0.9757 & 0.219 \text{ to } 0.226 & 0.002 \text{ to } 0.005 \\ 0.219 \text{ to } 0.225 & 0.9734 \text{ to } 0.9749 & 0.037 \text{ to } 0.043 \\ 0.004 \text{ to } 0.014 & 0.035 \text{ to } 0.043 & 0.9990 \text{ to } 0.9993 \end{pmatrix}$$

Mieszanie kwarków

Parametryzacja

Parametryzacja Wolfenstein'a macierzy CKM:

$$V \approx \begin{pmatrix} 1-\lambda^2/2 & \lambda & A\lambda^3(\rho - i\eta) \\ -\lambda & 1-\lambda^2/2 & A\lambda^2 \\ A\lambda^3(1-\rho-i\eta) & -A\lambda^2 & 1 \end{pmatrix}$$

$$\begin{aligned} \lambda &\approx \sin\theta_C \\ A,\ \rho,\ \eta &\sim 1 \end{aligned}$$

Elementy V_{td} i V_{ub} mogą być zespolone !

$\Rightarrow$ bezpośrednie łamanie CP w oddziaływaniach słabych

(w odróżnieniu od łamania pośredniego,
poprzez mieszanie stanów o różnej symetrii)

Bardzo subtelny efekt...

Bezpośrednie łamanie CP zaobserwowano jedynie
w rozpadach mezonów K° i B°

Łamanie CP

Mieszanie K°

W oddziaływaniach silnych produkowane są cząstki K° i $\bar{K}^\circ$

Stany te różnią się tylko dziwnością, która nie jest zachowana w oddziaływaniach słabych.

$\Rightarrow$ możliwa jest przemiana $K^\circ \leftrightarrow \bar{K}^\circ$

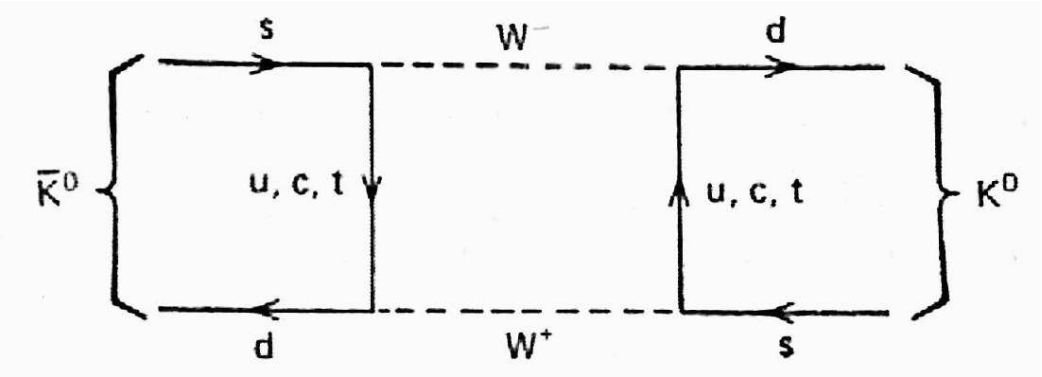

Wyprodukowane K° bedzie się jednocześnie rozpadać i oscylować w $\bar{K}^\circ$:

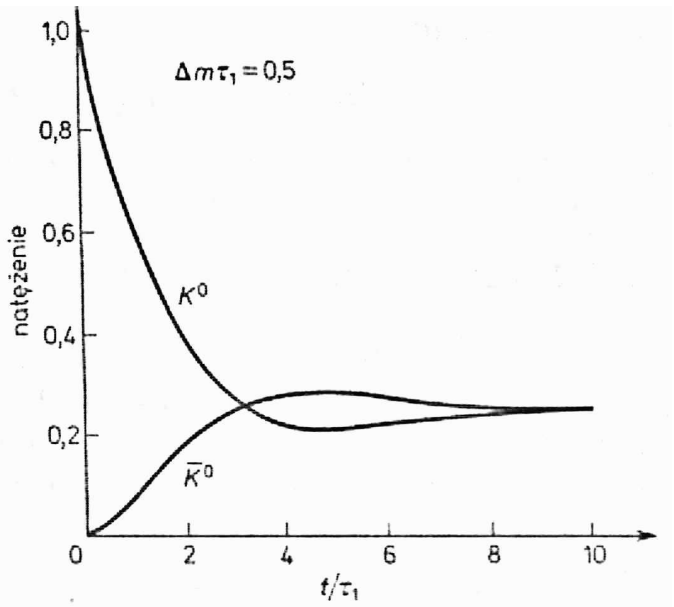

K° i $\bar{K}^\circ$ nie są "dobrze zdefiniowanymi" stanami fizycznymi: nie możemy wyznaczyć masy ani czasu życia.

Łamanie CP

Mieszanie K°

Stanami fizycznymi (o zdefiniowanej masie i czasie życia) są K_L (długo życiowy, "long") i K_S (krótko życiowy, "short").

Można je przedstawić jako kombinacje

$$\begin{aligned} K_L &\sim K_2 + \varepsilon K_1 \\ K_S &\sim K_1 - \varepsilon K_2 \end{aligned}$$

gdzie K_1 i K_2 są stanami o zdefiniowanej przystości CP

$$\begin{aligned} K_1 &\sim K^\circ + \bar{K}^\circ \quad (CP = +1) \\ K_2 &\sim K^\circ - \bar{K}^\circ \quad (CP = -1) \end{aligned}$$

Wartość CP danego stanu wskazuje jak zmienia się on (jego funkcja falowa) pod wpływem danego przekształcenia:

$$\begin{aligned} CP(K_1) &= +K_1 \\ CP(K_2) &= -K_2 \end{aligned}$$

Gdyby CP było zachowane, oczekiwalibyśmy $\varepsilon = 0$

Okazuje się, że stany fizyczne nie są stanami własnymi CP

$$\varepsilon \approx 2.3 \cdot 10^{-3}$$

$\Rightarrow$ łamanie CP w oddziaływaniach słabych (przez mieszanie)

Łamanie CP

Łamanie CP w rozpadach B°

B° i $\bar{B}^\circ$ mają wspólne kanały rozpadu:

$$\begin{aligned} B^\circ \ (\bar{B}^\circ) &\rightarrow J/\Psi\ K_L^\circ \quad (CP = +1) \\ &\rightarrow J/\Psi\ K_S^\circ \quad (CP = -1) \end{aligned}$$

Wartość CP stanu końcowego określa czy funkcja falowa zmienia znak przy operacji CP

Gdyby CP było ściśle zachowane, rozpady B° i $\bar{B}^\circ$ na stany o określonym CP zachodziłyby tak samo...

Obserwujemy asymetrię w różnicy czasów rozpadu. B° szybciej niż $\bar{B}^\circ$ rozpada się do stanu o $CP = +1$.

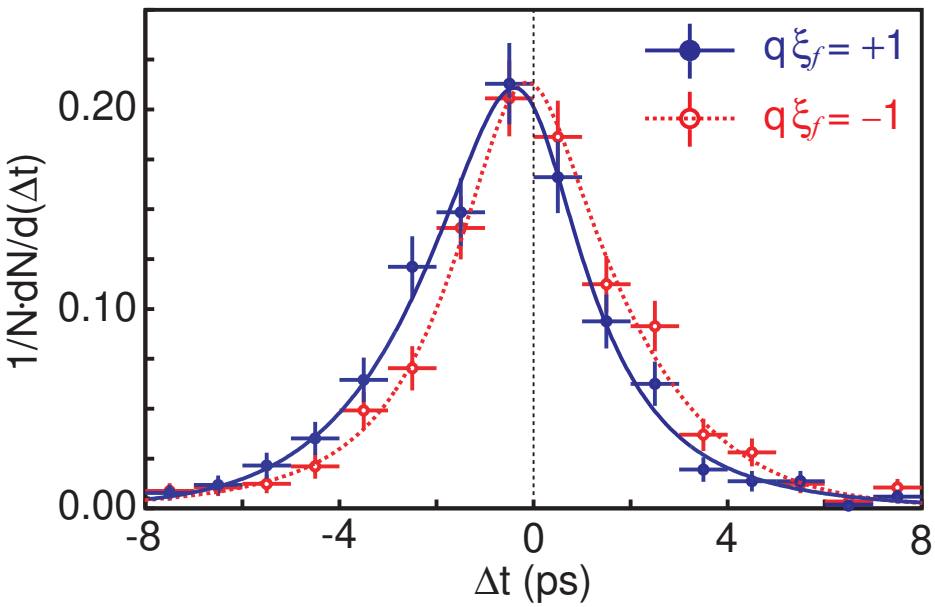

Dla stanu o $CP = -1$ sytuacja jest odwrotna...

Łamanie CP

Podsumowanie

Dzięki nowym wynikom eksperymentów “Belle” i “BaBar” (pomiary w sektorze B°), oraz NA48 i KTeV (pomiary w sektorze K°) wiemy obecnie ponad wszelką wątpliwość, że CP jest łamane w oddziaływaniach słabych...

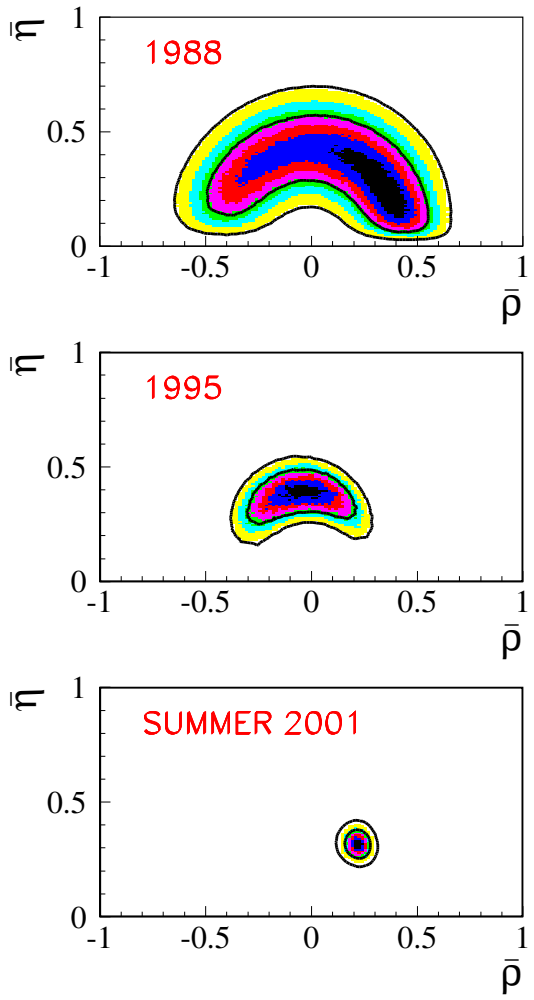

$$\eta > 0$$

Bozony $W^{\pm}$ i Z°

Oddziaływania NC

Pierwsza wiązka neutrin w CERN: 1963

Początek precyzyjnych pomiarów oddziaływań neutrin

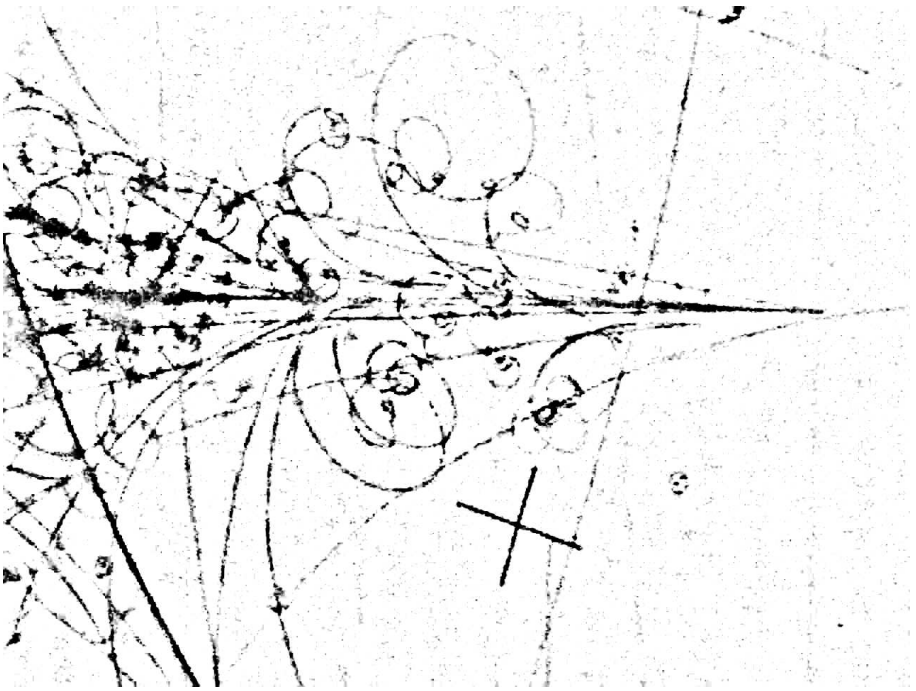

Oprócz reakcji oczekiwanych jako "odwrotne" procesy β

$$\begin{aligned} \nu_e\, n &\rightarrow e^-\, p \\ \nu_e\, N &\rightarrow e^-\, X \end{aligned}$$

zaobserwowano także procesy bez przekazu ładunku (tzw. prądy neutralne "Neutral Currents"; 1973):

$$\begin{aligned} \nu_e\, n &\rightarrow \nu_e\, p\, \pi^- \\ \nu_e\, N &\rightarrow \nu_e\, X \end{aligned}$$

Nowe wyniki wymagały nowego opisu...

Bozony $W^{\pm}$ i Z°

Model Weinberg'a-Salam'a

Nowy model oddziaływań słabych (1968)

Oddziaływanie zachodzi przez wymianę bardzo masywnego bozonu $W^{\pm}$ lub Z°. Rozpad mionu:

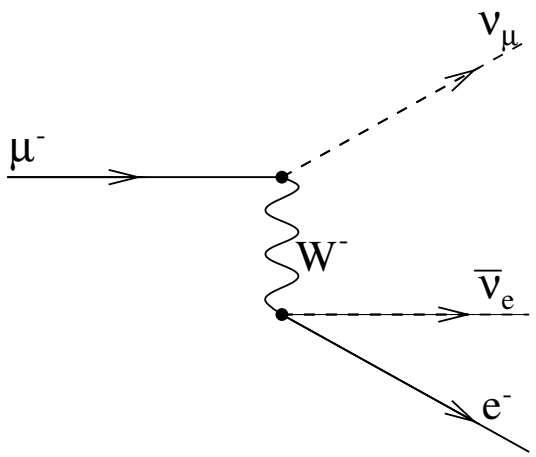

"Słabość" oddziaływania nie wynika ze stałej sprzężenia a z dużej masy bozonu:

$$G_F \sim \frac{g^2}{m_W^2}$$

Przyjmując, że sprzężenie g powinno być takie jak dla oddziaływań EM, Weinberg i Salam przewidzieli masy bozonów $W^{\pm}$ i Z°:

$$m_W \sim 80\ GeV$$
$$m_Z \sim 90\ GeV$$

Bozony $W^{\pm}$ i Z°

Odkrycie

W zderzeniach $p\bar{p}$ możliwa jest anihilacja pary $q\bar{q}$ w wirtualny foton lub bozon Z°, które następnie mogą się rozpaść na parę leptonów (e^+e^-, $\mu^+\mu^-$, $\tau^+\tau^-$):

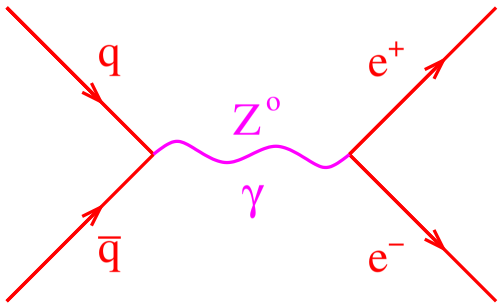

Jest to tzw. process Drela-Yana. Wkład od wymiany $Z^{\circ} \Rightarrow$ maksimum w masie niezmienniczej pary leptonów.

Wyniki UA1 (1983):

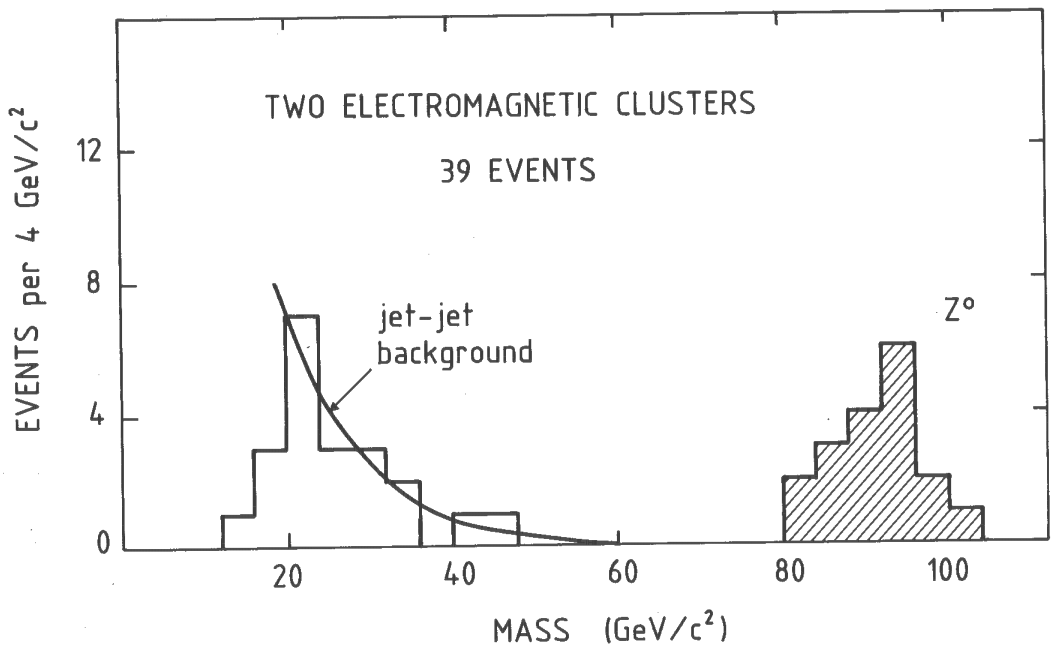

Fig. 1

Bozony $W^{\pm}$ i Z°

Odkrycie

W zderzeniach $p\bar{p}$ możliwa jest też "anihilacja" pary $q\bar{q}'$ w bozon $W^{\pm}$:

$$u\bar{d} \;\rightarrow\; W^{+} \;\rightarrow\; e^{+}\,\nu_e$$

Proces z produkcją neutrina

$\Rightarrow$ niezachowanie pędu poprzecznego

Wyniki UA1 (1983):

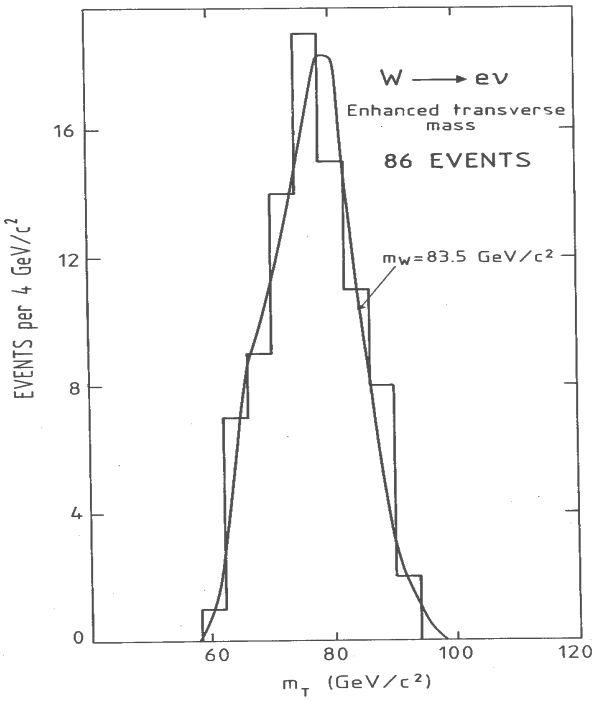

Fig. 3b

Odkrycie bozonów $W^{\pm}$ i Z° przypisujemy eksperymentom UA1 i UA2 przy akceleratorze SPS w CERN.

Bozony $W^{\pm}$ i Z°

CC DIS at HERA

W rozpaszaniu $e^{\pm}p$ nośnikiem oddziaływania może być nie tylko γ, ale także Z° i $W^{\pm}$:

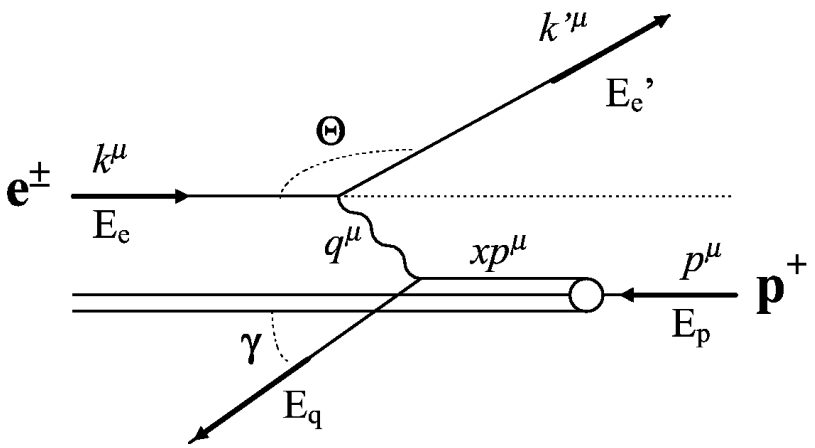

W przypadku wymiany $W^{\pm}$ (prądy naładowane: CC DIS) w detektorze obserwujemy tylko stan hadronowy:

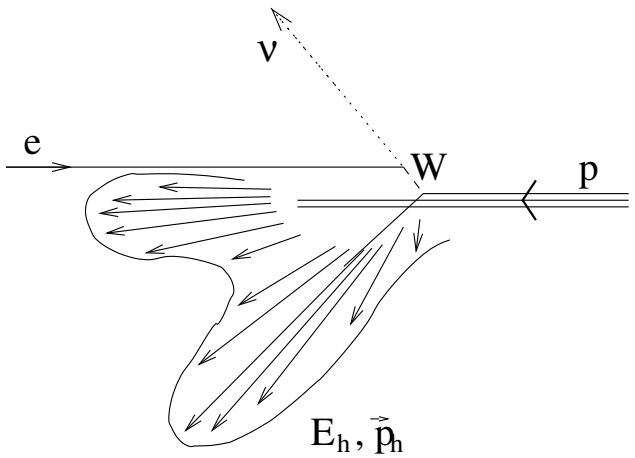

Wystarcza to jednak to pełnej rekonstrukcji zmiennych kinematycznych x, y i Q^2

Bozony $W^{\pm}$ i Z°

Przypadki CC DIS

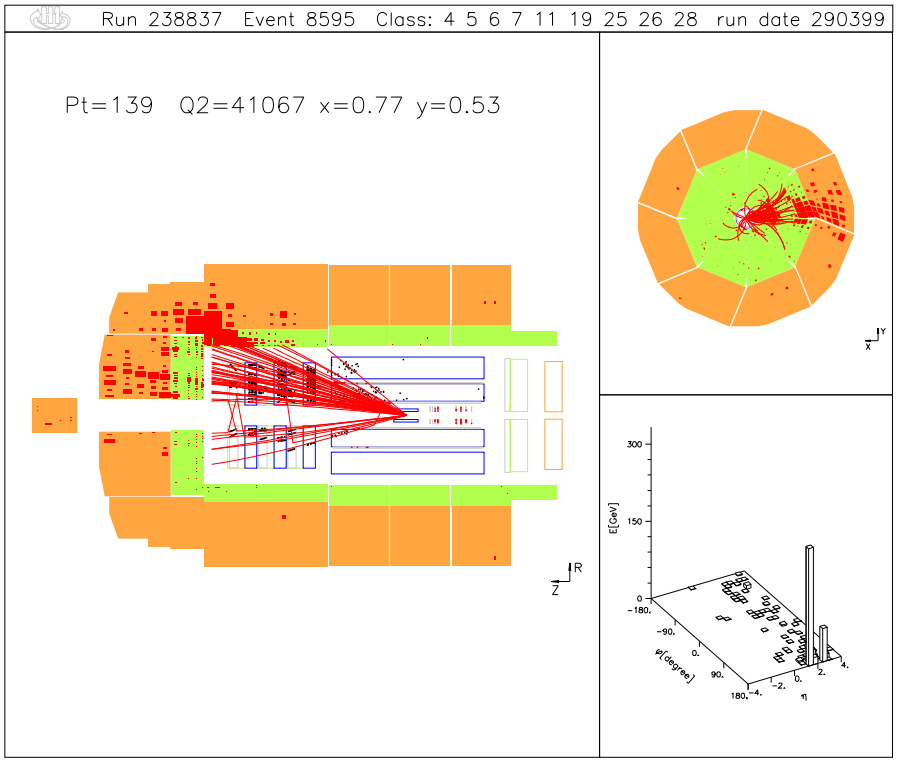

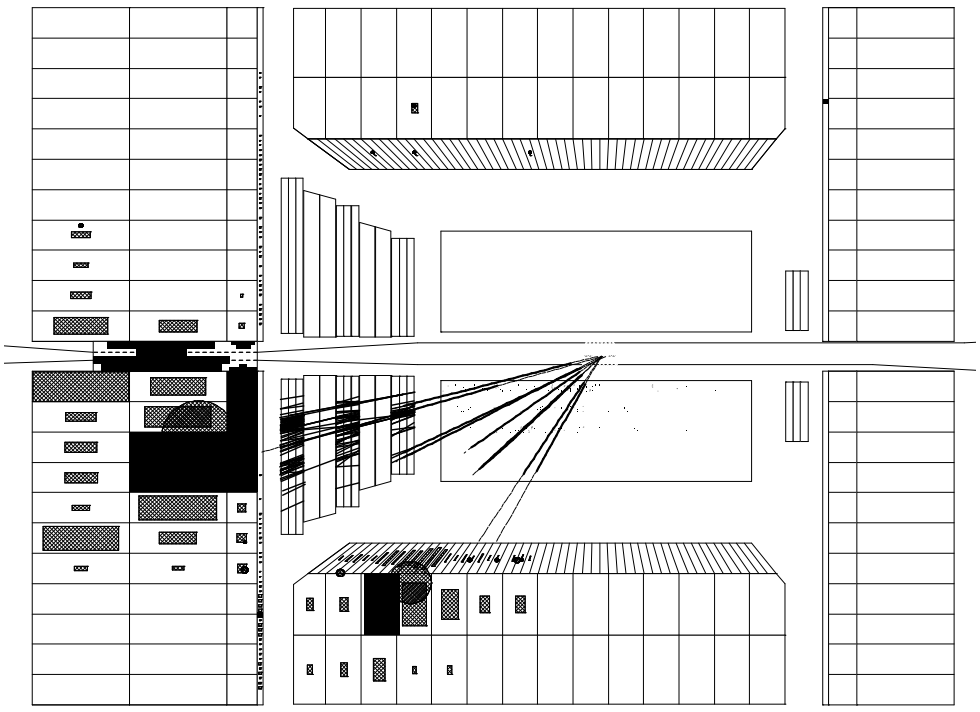

Bozony $W^{\pm}$ i Z°

CC DIS at HERA

Przekrój czynny na NC DIS (dominuje wymiana γ):

$$\frac{d\sigma}{dQ^2} \sim \frac{1}{Q^4}$$

Dla wymiany $W^{\pm}$ (CC DIS):

$$\frac{d\sigma}{dQ^2} \sim \frac{1}{(M_W + Q^2)^2}$$

W obszarze bardzo dużych Q^2 “unifikacja”:

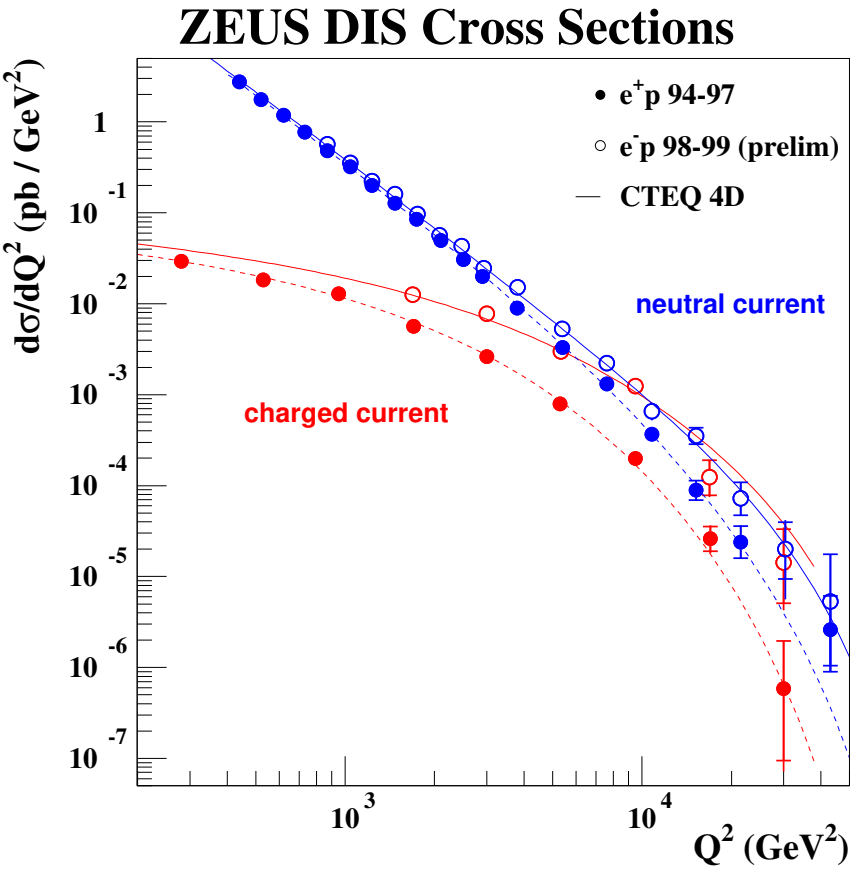

Oddziaływania słabe porównywalne z elektromagnetycznymi

Bozony $W^{\pm}$ i Z°

CC DIS at HERA

Dopasowując zależność przekroju czynnego na CC DIS od Q^2 można wyznaczyś masę i niskoenergetyczne sprzężenie wymienianego nośnika.

Wyniki H1 i ZEUS:

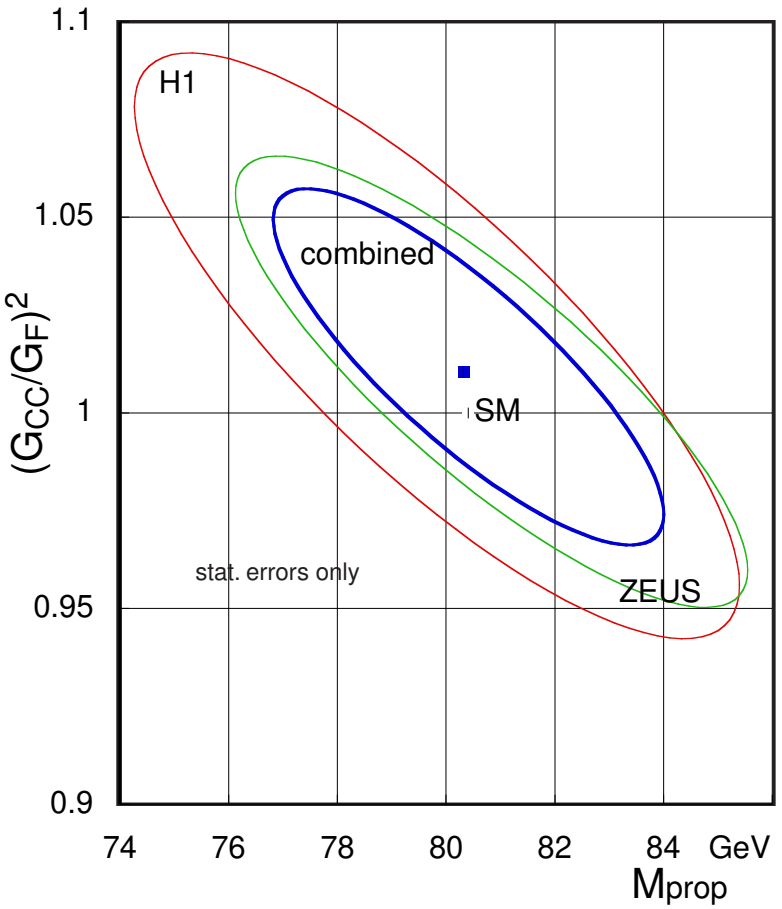

Pełna zgodność z modelem wymiany $W^{\pm}$